

Starkniederschlagshöhen und -spenden gemäß KOSTRA-DWD-2010R

Auswertungszeitraum von 1951 - 2010, Januar - Dezember

Rasterfeld: 92031

Zeile: 92

Spalte: 31

Seite: 1/2

| Dauerstufe D | Wiederkehrzeit T | | | | | | | | | | | | | | | | | | |
|--------------|------------------|------|------------|------|------------|------|------------|------|------------|------|------------|------|------------|------|------------|------|------------|-------|------------|
| | 1 a | | 2 a | | 3 a | | 5 a | | 10 a | | 20 a | | 30 a | | 50 a | | 100 a | | |
| min | Std | mm | l / (s ha) | mm | l / (s ha) | mm | l / (s ha) | mm | l / (s ha) | mm | l / (s ha) | mm | l / (s ha) | mm | l / (s ha) | mm | l / (s ha) | mm | l / (s ha) |
| 5 | | 5,2 | 173,3 | 6,9 | 230,0 | 7,8 | 260,0 | 9,0 | 300,0 | 10,7 | 356,7 | 12,3 | 410,0 | 13,3 | 443,3 | 14,5 | 483,3 | 16,1 | 536,7 |
| 10 | | 8,4 | 140,0 | 10,8 | 180,0 | 12,1 | 201,7 | 13,9 | 231,7 | 16,3 | 271,7 | 18,6 | 310,0 | 20,0 | 333,3 | 21,8 | 363,3 | 24,2 | 403,3 |
| 15 | | 10,5 | 116,7 | 13,5 | 150,0 | 15,2 | 168,9 | 17,3 | 192,2 | 20,3 | 225,6 | 23,3 | 258,9 | 25,0 | 277,8 | 27,1 | 301,1 | 30,1 | 334,4 |
| 20 | | 12,0 | 100,0 | 15,5 | 129,2 | 17,5 | 145,8 | 20,0 | 166,7 | 23,5 | 195,8 | 26,9 | 224,2 | 28,9 | 240,8 | 31,4 | 261,7 | 34,9 | 290,8 |
| 30 | | 14,0 | 77,8 | 18,3 | 101,7 | 20,8 | 115,6 | 24,0 | 133,3 | 28,3 | 157,2 | 32,5 | 180,6 | 35,0 | 194,4 | 38,2 | 212,2 | 42,5 | 236,1 |
| 45 | | 15,8 | 58,5 | 21,1 | 78,1 | 24,3 | 90,0 | 28,2 | 104,4 | 33,5 | 124,1 | 38,8 | 143,7 | 41,9 | 155,2 | 45,8 | 169,6 | 51,1 | 189,3 |
| 60 | | 16,9 | 46,9 | 23,1 | 64,2 | 26,7 | 74,2 | 31,3 | 86,9 | 37,5 | 104,2 | 43,7 | 121,4 | 47,3 | 131,4 | 51,9 | 144,2 | 58,1 | 161,4 |
| 90 | | 18,8 | 34,8 | 25,1 | 46,5 | 28,7 | 53,1 | 33,3 | 61,7 | 39,6 | 73,3 | 45,8 | 84,8 | 49,5 | 91,7 | 54,1 | 100,2 | 60,4 | 111,9 |
| 120 | 2 | 20,3 | 28,2 | 26,6 | 36,9 | 30,3 | 42,1 | 34,9 | 48,5 | 41,2 | 57,2 | 47,5 | 66,0 | 51,2 | 71,1 | 55,8 | 77,5 | 62,1 | 86,3 |
| 180 | 3 | 22,6 | 20,9 | 28,9 | 26,8 | 32,7 | 30,3 | 37,3 | 34,5 | 43,7 | 40,5 | 50,0 | 46,3 | 53,7 | 49,7 | 58,4 | 54,1 | 64,7 | 59,9 |
| 240 | 4 | 24,4 | 16,9 | 30,8 | 21,4 | 34,5 | 24,0 | 39,2 | 27,2 | 45,6 | 31,7 | 51,9 | 36,0 | 55,7 | 38,7 | 60,4 | 41,9 | 66,8 | 46,4 |
| 360 | 6 | 27,2 | 12,6 | 33,6 | 15,6 | 37,3 | 17,3 | 42,1 | 19,5 | 48,5 | 22,5 | 54,9 | 25,4 | 58,7 | 27,2 | 63,4 | 29,4 | 69,9 | 32,4 |
| 540 | 9 | 30,2 | 9,3 | 36,7 | 11,3 | 40,5 | 12,5 | 45,3 | 14,0 | 51,8 | 16,0 | 58,2 | 18,0 | 62,0 | 19,1 | 66,8 | 20,6 | 73,3 | 22,6 |
| 720 | 12 | 32,6 | 7,5 | 39,1 | 9,1 | 43,0 | 10,0 | 47,8 | 11,1 | 54,3 | 12,6 | 60,8 | 14,1 | 64,6 | 15,0 | 69,4 | 16,1 | 75,9 | 17,6 |
| 1080 | 18 | 36,3 | 5,6 | 42,9 | 6,6 | 46,7 | 7,2 | 51,6 | 8,0 | 58,1 | 9,0 | 64,7 | 10,0 | 68,6 | 10,6 | 73,4 | 11,3 | 80,0 | 12,3 |
| 1440 | 24 | 39,2 | 4,5 | 45,8 | 5,3 | 49,7 | 5,8 | 54,5 | 6,3 | 61,1 | 7,1 | 67,8 | 7,8 | 71,6 | 8,3 | 76,5 | 8,9 | 83,1 | 9,6 |
| 2880 | 48 | 48,6 | 2,8 | 56,0 | 3,2 | 60,3 | 3,5 | 65,8 | 3,8 | 73,2 | 4,2 | 80,6 | 4,7 | 84,9 | 4,9 | 90,3 | 5,2 | 97,7 | 5,7 |
| 4320 | 72 | 55,1 | 2,1 | 63,0 | 2,4 | 67,6 | 2,6 | 73,3 | 2,8 | 81,2 | 3,1 | 89,1 | 3,4 | 93,7 | 3,6 | 99,4 | 3,8 | 107,3 | 4,1 |

Angaben in mm: Bemessungsniederschlagswerte h(n)

Angaben in l / (s ha): Regenspende R(n) mit $R(n) = h(n) \times 1,666667 / D[\text{min}]$

Toleranzbereiche:

+/- 10 % für $1 \text{ a} \leq T \leq 5 \text{ a}$

+/- 15 % für $5 \text{ a} < T \leq 50 \text{ a}$

+/- 20 % für $50 \text{ a} < T \leq 100 \text{ a}$

Datenbasis: KOSTRA-DWD-2010R des Deutschen Wetterdienstes. Die Regenspende wurde auf Basis des Bemessungsniederschlags zur jeweiligen Andauer berechnet.

Für die Richtigkeit und Aktualität der Angaben wird keine Gewähr übernommen. Erstellt 07/2022.

Starkniederschlagshöhen und -spenden gemäß KOSTRA-DWD-2010R

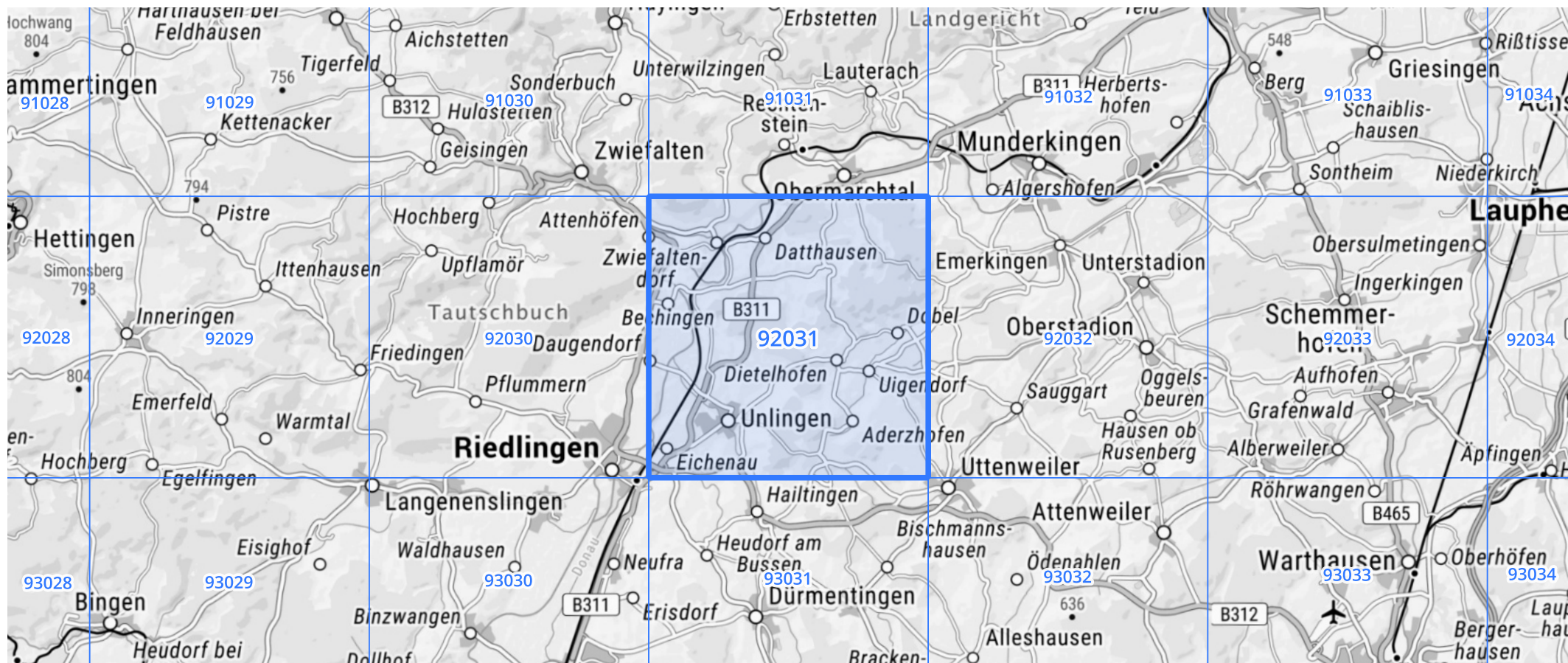
Auswertungszeitraum von 1951 - 2010, Januar - Dezember

Rasterfeld: 92031

Zeile: 92

Spalte: 31

Seite: 2/2



Quelle Rasterdaten: KOSTRA-DWD-2010R des Deutschen Wetterdienstes.

Kartendarstellung: © Bundesamt für Kartographie und Geodäsie (2022), Datenquellen: https://sgx.geodatenzentrum.de/web_public/gdz/datenquellen/Datenquellen_TopPlusOpen.html

Für die Richtigkeit und Aktualität der Angaben wird keine Gewähr übernommen. Erstellt 07/2022.